

MgO의 첨가량에 따른 $(\text{Ba}_{0.5}\text{Sr}_{0.5})\text{TiO}_3$ 후막의 유전 특성

강원석, 남송민, 고중혁, 이영희
광운대학교

Dielectric Properties of $(\text{Ba}_{0.5}\text{Sr}_{0.5})\text{TiO}_3$ Thick Films Doped with MgO

Won-Seok Kang, Song-Min Nam, Jung-Hyuk Koh, Young-Hie Lee
Kwangwoon University

Abstract - Using the $(\text{Ba}_{0.5}\text{Sr}_{0.5})\text{TiO}_3$ (BST) powders prepared by the Sol-Gel method, the BST thick films were fabricated on the Al_2O_3 substrates coated with Pt by the screen printing method. Compared with pure BST thick films, the structural and dielectric properties of the BST thick films doped with 1~10 wt % MgO were investigated. It was observed that the Mg substitution into BST causes a shift in the cubic-tetragonal BST phase transition peak to a lower temperature. The microstructure of the BST substituted with Mg was homogeneous and dense. Mg substitution into BST had a significant effect on the grain size reduction. Dielectric constant was decreased with increasing the MgO content and temperature.

In the case of BST thick films doped with 1 wt% MgO, the relative permittivity and dielectric loss were 1581 and 1.4 % at 1 MHz.

1. 서 론

최근에 고주파 유전체 소자에 대한 연구가 많이 진행되고 있다. 응용소자는 varactor, delay line, filter, phase shifter, voltage controlled oscillators(VCO) 등 [1]이 있으며, 이런 응용을 위한 유전체 물질로는 SrTiO_3 (ST), $(\text{Ba}_{x}\text{Sr}_{1-x})\text{TiO}_3$ (BST) 등이 있다. 고주파 유전체 물질이 소자에 응용되기 위해 요구되는 특성으로는 높은 유전상수, tunability, 낮은 유전손실 등이 있다. BaTiO_3 와 SrTiO_3 는 모두 perovskite(ABO₃) 구조로서 가장 널리 이용되는 유전체 재료들이다. 그 중 SrTiO_3 (ST)는 단결정에서는 유전율이 매우 높으나, 다결정이 되면서 유전율이 감소하고, 또한 저온에서는 높은 유전율 및 낮은 유전손실을 보이나, 상온으로 온도가 증가됨에 따라서 유전특성이 나빠지는 문제가 있다 [2-6]. BaTiO_3 (BT)는 상전이 온도가 120 °C로서 상온에서 강유전성(ferroelectric phase)을 갖는 재료이다. 이러한 SrTiO_3 의 특성과 BaTiO_3 가 지니고 있는 우수한 전기적 특성이 동반되는 고용체는 많은 응용 분야에서 주목을 받고 있다.

BST는 500 이상의 높은 유전율과 낮은 손실값 그리고 50 % 이상의 높은 tunability를 갖는 고주파 유전체 소자로 매우 각광받는 소재이다. BST는 Ba와 Sr의 몰 비의 변화로 상전이 온도를 비롯하여 전기적·유전적 특성이 변화하기 때문에 전자소자로서 활발히 연구가 진행되고 있다. 일반적으로 상온에서는 상유전 상태의 특성을 보이는 조성인 $(\text{Ba}_{0.5}\text{Sr}_{0.5})\text{TiO}_3$ 가 널리 사용되고 있다.

Sol-Gel법은 Sol을 형성하게 되는 분자단위의 전구물(molecular precursor)을 사용하여 고체상의 망목이 수화-축합(hydroxylation-condensation) 반응을 통해 얻어진다. 따라서 무기증합(inorganic polymerization)에 관계된 화학 반응의 조절을 통해 세라믹스의 미세구조 공정을 제어하여 우수한 화학적 균일성을 지니는 고순도의 미세 분말을 합성할 수 있다.

본 연구에서는 $(\text{Ba}_{0.5}\text{Sr}_{0.5})\text{TiO}_3$ 에 MgO를 첨가하여 Sol-Gel법으로 분말을 제작하였고 스크린프린팅법으로 후막을 제작하여 MgO 첨가량에 따른 구조적, 전기적 특성을 고찰하였다.

2. 본 론

2.1 실험방법

본 연구에서는 Budd[7] 등이 제시한 Sol-Gel법을 수정하여 $(\text{Ba}_{0.5}\text{Sr}_{0.5})\text{TiO}_3$ 분말을 제조하였다. 출발 물질로 고순도의 Barium acetate ($(\text{CH}_3\text{COO})_2\text{Ba}$), Strontium acetate($(\text{CH}_3\text{COO})_2\text{Sr}$) 시료를 Acetic acid (CH_3COOH)에 용해시킨 후 2-methoxyethanol($\text{CH}_3\text{OCH}_2\text{CH}_2\text{OH}$)과 혼합한 Ti-isopropoxide($\text{Ti}(\text{OCH}(\text{CH}_3)_2)_4$)액을 첨가하고 60 °C에서 가수반응을 시켜 젤화시킨 후 100 °C 오븐에서 6일간 충분히 건조시켰다. 건조된 분말을 자르코니아 유발을 이용하여 분쇄하였고, 1100 °C에서 2시간 동안 하소하였다. 하소한 분말을 재분쇄하고, MgO 분말을 첨가하여 알콜을 분산매로 하여 자르코니아 볼로 24시간동안 혼합분쇄하였다. 혼합분쇄한 분말을 120 °C 오븐에서 24시간동안 건조한 후 재분쇄하였고 325 mesh의 체를 이용하여 채가음을하였다. 그 후 유기물 결합제(Ferro. B75001)와 혼합하여 페인스트립을 만들어 스크린프린팅법을 이용하여 시편을 제작하였다. 시편에 1.5 ton/cm² 압력을 가해 성형하였고, 성형한 시편을 1175 °C에서 2시간동안 소결하였다. 하소 및 소결시 전기로의 온도 상승률은 유기물의 급격한 유발을 방지하기 위하여 2 °C/min.으로 하였다. 기판으로는 고순도 알루미나 기

판을 사용하였으며 전기적 특성을 측정하기 위하여 스크린프린팅법을 이용하여 하부전극으로 Pt, 상부전극으로는 Ag를 사용하였다.

2.2 측정방법

Sol-Gel법으로 제작된 분말과 BST 후막의 결정구조 및 결정성에 대해 조사하기 위해서 X-선 회절분석을 하였다. X-선은 CuKα($\lambda=1.542\text{\AA}$)을 사용하였으며, 스텝 폭과 주사속도는 각각 0.05 deg., 5 deg./min.로 하였다. 표면에서의 결정립의 형태, 결정립계 및 기공 등의 미세구조는 전자현미경으로 분석하였다. 전기적 특성의 측정을 위하여 스크린프린팅법을 이용하여 Ag 상부전극을 형성시킨 후, Impedance Analyzer(HP4192A)를 사용하여 측정한 값과 후막의 두께 및 상부전극의 면적을 이용하여 유전특성을 계산하였다.

3. 결과 및 고찰

그림 1은 1300 °C에서 소결한 순수한 $(\text{Ba}_{0.5}\text{Sr}_{0.5})\text{TiO}_3$ 후막과 1175 °C에서 소결한 1~10 wt% MgO가 첨가된 $(\text{Ba}_{0.5}\text{Sr}_{0.5})\text{TiO}_3$ 후막에 시편의 XRD 그레프이다. 소결시 유기물의 급격한 유발을 방지하기 위해 전기로의 습온 속도를 2 °C/min.으로 하였다. 순수한 BST와 모든 MgO의 첨가량에 따른 BST 후막에서 pyroclore상이 없는 순수한 BST 페로브스카이트상이 나타났다. 그림 1에서 보여지는 것처럼, 전체적인 X-선 회절 강도가 감소하였다. 이것은 Mg^{2+} 이온이 BST의 Ba^{2+} 나 Sr^{2+} 또는 Ti^{4+} 와 치환되어서 (110), (111), (211), (310)의 X-선 회절강도가 감소한 것으로 생각된다.

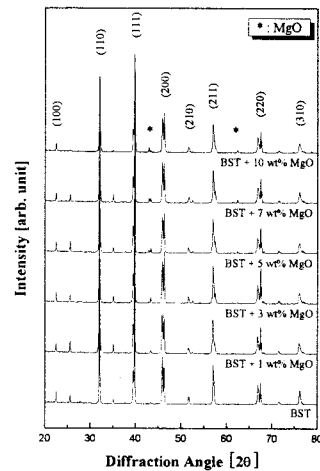
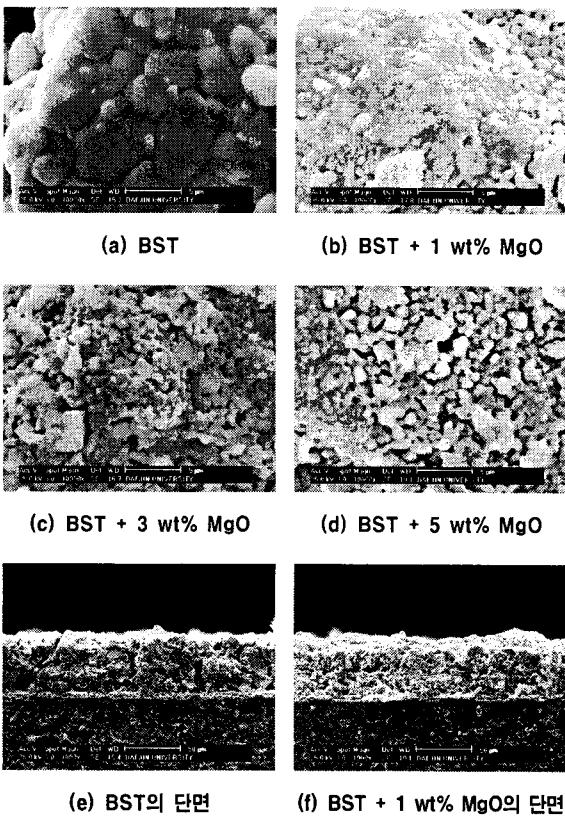


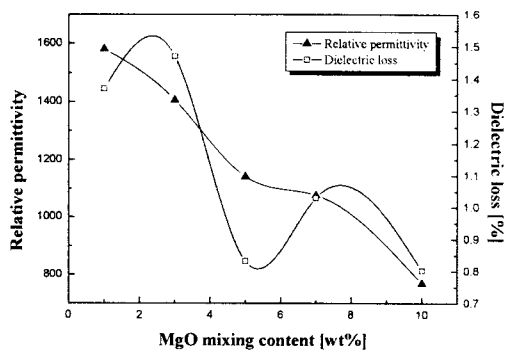
그림 1) MgO의 첨가량에 따른 $\text{Ba}_{0.5}\text{Sr}_{0.5}\text{TiO}_3$ 후막의 XRD 패턴

그림 2는 순수한 BST와 MgO가 첨가된 BST 후막의 미세 구조이다. MgO가 첨가된 BST 후막의 결정립의 크기는 약 1 μm 정도로, 순수한 BST 후막의 결정립의 크기(약 5 μm)와 비교했을 때 현저하게 감소한 것을 알 수 있다. 이것은 MgO가 결정립의 성장을 억제하기 때문인 것으로 생각된다. 결정립의 크기는 다소 차이가 있지만 전체적으로 균일하게 분포하고 있고 균열이 없는 비교적 치밀한 구조를 나타내었다. 순수한 BST 후막과 MgO가 첨가된 BST 후막의 형태는 변화가 없음을 볼 수 있는데, 이는 그림 1에서 설명한 것과 마찬가지로 Mg^{2+} 이온이 BST의 Ba^{2+} 나 Sr^{2+} 또는 Ti^{4+} 와 치환되어 있음을 입증하는 것이다. 후막의 평균적인 두께는 약 50 μm 이다.

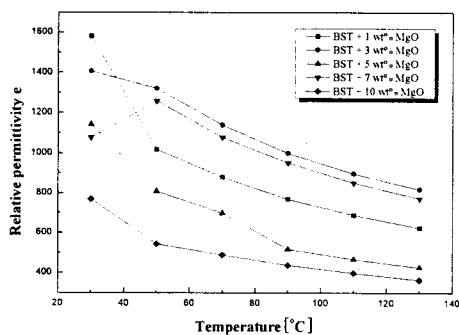
그림 3은 MgO가 첨가된 BST 후막의 1 MHz에서의 유전율과 유전손실 값을 나타내고 있다. 유전율은 MgO의 첨가량이 1 wt% 일 때 가장 높은 1581을 얻을 수 있었고, MgO의 첨가량이 증가하면서 점차 감소하는 것을 볼 수 있다. 이것은 Mg가 치환된 BST와 MgO 간의 혼합 효과로 설명된다 [8]. 유전손실은 0.8 % ~ 1.4 %의 비교적 낮은 값을 가진다.



<그림 2> MgO의 첨가량에 따른 $(\text{Ba}_{0.5}\text{Sr}_{0.5})\text{TiO}_3$ 후막의 미세구조



<그림 3> MgO의 첨가량에 따른 $(\text{Ba}_{0.5}\text{Sr}_{0.5})\text{TiO}_3$ 후막의 유전 특성



<그림 4> 온도에 따른 MgO가 첨가된 $(\text{Ba}_{0.5}\text{Sr}_{0.5})\text{TiO}_3$ 후막의 유전율

그림 4는 온도에 따른 MgO가 첨가된 BST 후막의 1 MHz에서의 유전율을 나타내고 있다. 온도가 높아짐에 따라 유전율이 점차 감소하는 것을 볼 수 있다. 온도가 30 °C에서 130 °C 까지 상승하면서, 약 50 %의 유전율 감소가 나타났다. 이것은 MgO가 첨가된 BST 후막이 상온에서 상유전성이기 때문에 자발분극이 없어지게 되어 온도가 증가함에 따라 감소하는 것으

로 사료된다[9]. 그림 3에서 본 것과 같이 MgO의 첨가량이 증가함에 따라 유전율은 감소하여, MgO의 첨가량이 10 wt%일 때 가장 낮은 값을 가진다.

4. 결 론

본 연구에서는 Sol-Gel법을 이용하여 BST 분말에 1 ~ 10 wt% MgO를 첨가하여 스크린프린팅법으로 후막을 제조하고, 이 후막에 대한 구조적 특성과 유전적 특성을 고찰하여 다음과 같은 결론을 얻었다.

- 순수한 BST 후막과 1~10 wt% MgO를 첨가한 BST 후막의 X-선 회절 분석 결과 모든 시편에서 2차상이 없는 순수한 BST 페로브스카이트상이 나타났다.
- 모든 시편이 균일하고 치밀한 구조를 나타내었고, MgO가 첨가된 BST 후막의 결정립의 크기는 약 1 μm 정도로, 순수한 BST 후막의 결정립의 크기(약 5 μm)와 비교했을 때 크게 감소하였다. 후막의 평균적인 두께는 약 50 μm 이었다.
- MgO가 첨가된 BST 후막의 1 MHz에서의 유전율은 MgO의 첨가량이 증가하면서 점차 감소하고, MgO의 첨가량이 1 wt%일 때 가장 높은 1581의 유전율 값을 가졌으며, 유전손실은 0.8 % ~ 1.4 % 이었다.
- 온도에 따른 MgO가 첨가된 BST 후막의 1 MHz에서의 유전율 값은, 온도가 높아지고 MgO의 첨가량이 증가함에 따라 감소하였다. 온도가 30 °C에서 130 °C 까지 상승하면서, 유전율의 감소가 나타났다.

결과적으로 BST에 MgO를 첨가함으로서 구조적 특성과 유전손실이 향상되었으며, MgO가 첨가된 BST 후막은 마이크로파 유전체 재료로의 응용이 가능할 것으로 생각된다.

감사의 글

본 연구는 서울시 산학연 협력사업 지원에 의해서 이루어졌습니다. (Grant No.10651)

[참 고 문 헌]

- [1] Sca-Fue Wang, Jinn P. Chu, Chen Chun Lin,T. Mahalingamb, "Dielectric properties and microstructure of nano-MgO dispersed $\text{Ba}_{0.5}\text{Sr}_{0.5}\text{TiO}_3$ thin films prepared by sputter deposition" J. Appl. Phys. 98, 014107, 2005.
- [2] Young-Ah Jeon, Eun-suck Choi, tae-suck Seo and Soon-Gil Yoon, "Improvements in Tunability of $(\text{Ba}_{0.5}\text{Sr}_{0.5})\text{TiO}_3$ thin films by use of metalorganic chemical vapor deposited $(\text{Ba},\text{Sr})\text{RuO}_3$ interfacial layers" Appl. Phys. Lett., 79, pp. 1012-1014, 2001.
- [3] Howard Diamond, "Variation of permittivity with Electric Field in perovskite Like Ferroelectrics", J. Appl. Phys., 32, pp. 909-915, 1961.
- [4] Long Wu, Yih-Chein Chen, Yi Ping Chou, Yuan-tu Tsai and Cheng-Yuan Chu, "Dielectric properties of Al_2O_3 -doped BariumStrontium Titanate for Application in Phased Array Antennas", Jpn. J. Appl. Phys., 38, pp. 5154-5161, 1999.
- [5] Jih-Wei Liou, Bi-Shiou Chiou, "Dielectric properties of Al_2O_3 -doped Barium Strontium titanate for Application in Phased Array Antennas", J. Mat. Sci.: Mater. in Elecr., 11, pp. 645-651, 2000.
- [6] Jih-Wei Liou, Bi-Shiou Chiou, "Dielectric properties of Al_2O_3 -doped Barium Strontium titanate for Application in Phased Array Antennas", Jpn. J. Appl. Phys., 36, pp. 4359-4368, 1997.
- [7] K.D. Budd, S.U. Dye and D.A. Payne, "Sol-Gel Processing of PbTiO_3 , PbZrO_3 , PZT, PZLT Thin Film", Brit. Ceram. Proc., Vol. 36, p. 107, 1985.
- [8] Wontae Chang, Louise Sengupta, "MgO-mixed $\text{Ba}_{0.6}\text{Sr}_{0.4}\text{TiO}_3$ bulk ceramics and thin films for tunable microwave applications", J. Appl. Phys., Vol. 92, No.7 pp.3941-3946
- [9] L. Radhapiyari Devi and Chandara Prakash, "Dielectric Properties of Mg doped $\text{Ba}_{0.5}\text{Sr}_{0.5}\text{TiO}_3$ " International Conference on Smart materials Structures and System, pp.22~25, 2005.